

کور کومین از بافت بیضه موش سوری در برابر اثرات زیان آور سدیم آرسنیت محافظت می کند: یک مطالعه استریولوژیک

ملک سلیمانی^{*}، مهرنجانی^{*}، نجمه حاتمی^{کیا}، سمیرا نادری نورعینی^۱

خلاصه

مقدمه: سدیم آرسنیت یک آلاینده زیست محیطی است که با تولید رادیکال های آزاد می تواند بر روی سیستم تولید مثلی اثرات سوء داشته باشد. هدف از این پژوهش بررسی اثر کور کومین، به عنوان یک آنتی اکسیدان قوی، بر بافت بیضه و جمعیت سلول های زایای اسپرم در موش های تیمار شده با سدیم آرسنیت بود.

روش: در این مطالعه تجربی، موش های نر بالغ NMRI به صورت تصادفی به ۵ گروه (n=6) تقسیم شدند: کنترل، سدیم آرسنیت (۵ میلی گرم بر کیلو گرم در روز)، کور کومین (۱۵ میلی گرم بر کیلو گرم در روز)، سدیم آرسنیت + کور کومین و DMSO به عنوان حلال کور کومین. پس از ۵ هفته تیمار به صورت تزریق داخل صفاقی، بیضه راست خارج، فیکس، برش گیری و با روش هایiden هان آزان رنگ آمیزی و به روش استریولوژیک مطالعه شد. داده ها توسط آزمون آنالیز واریانس یک طرفه و آزمون Tuckey تجزیه و تحلیل شد و تفاوت میانگین ها در سطح $P < 0.05$ معنی دار در نظر گرفته شد.

یافته ها: کاهش معنی داری در میانگین حجم ($P < 0.05$) و قطر ($P < 0.01$) لوله های منی ساز، ارتفاع اپی تلیوم زایشی ($P < 0.01$)، ضخامت غشاء پایه ($P < 0.01$) لوله های منی ساز و تعداد سلول های اسپرماتوسیت و اسپرماتید ($P < 0.01$) و افزایش معنی داری در میانگین حجم بافت بینایی ($P < 0.05$) در گروه سدیم آرسنیت در مقایسه با گروه کنترل مشاهده شد. پaramترهای فوق در گروه سدیم آرسنیت + کور کومین در حد گروه کنترل جبران شد.

نتیجه گیری: کور کومین می تواند اثرات سوء ناشی از سدیم آرسنیت را بر بافت بیضه و جمعیت سلول های زایی اسپرم در موش بالغ جبران نماید. لذا مصرف کور کومین، به عنوان یک مکمل، در مسمومیت ناشی از سدیم آرسنیت پیشنهاد می گردد.

واژه های کلیدی: استریولوژی، بیضه، کور کومین، سدیم آرسنیت، موش سوری

۱- استاد بافت شناسی و جنین شناسی، گروه زیست شناسی، دانشکده علوم پایه، دانشگاه اراک، اراک، ایران ۲- دانش آموخته زیست شناسی سلولی تکوینی، گروه زیست شناسی، دانشکده علوم پایه، دانشگاه اراک، اراک، ایران

* نویسنده مسؤول، آدرس پست الکترونیک: m-soleimani@araku.ac.ir

مقدمه

کورکومین بیشترین فعالیت را دارد (۸). در مطالعات نشان داده شده است که کورکومین دارای خواص آنتیاکسیدانی و ضدالتهابی است. کورکومین یک آنتیاکسیدان مؤثر در برابر آسیب اکسیداتیو بافتی در نظر گرفته می‌شود و به طور معنادار از تولید گونه‌های فعال اکسیژن (Reactive Oxygen Species: ROS) جلوگیری می‌کند (۲,۹).

با توجه به کاربرد وسیع سدیم آرسنیت در صنایع مختلف و مشاهده اثرات زیانبار آن بر سیستم تولید مثلی، بر آن شدیم تا در این مطالعه با استفاده از تکنیک استریولوژی نقش حفاظتی کورکومین به عنوان یک آنتیاکسیدانت مؤثر و کارآمد در جلوگیری از اثرات زیان آور سدیم آرسنیت بر بافت ییضه موش مورد بررسی قرار گیرد.

روش بررسی

در این مطالعه تجربی، ۳۰ سر موش نر بالغ نژاد NMRI با میانگین وزنی ۳۰ ± ۵ گرم از انیستیتو پاستور ایران خریداری و درخانه حیوانات دانشگاه اراک در شرایط استاندارد (دماي ۲۱ ± ۲ درجه سانتی گراد و نور محیطی با شرایط ۱۲ ساعت تاریکی و ۱۲ ساعت روشنایی) و با دسترسی آزاد به آب و غذا برای سازگاری با محیط به مدت ۲ هفته نگهداری شدند. موش‌ها به طور تصادفی به گروه‌های کنترل، کورکومین (۱۵ میلی گرم بر کیلو گرم در روز)، سدیم آرسنیت (۵ میلی گرم بر کیلو گرم در روز) و کورکومین+سدیم آرسنیت تقسیم شدند. از آب مقطر به عنوان رقیق کننده سدیم آرسنیت و از دی‌متیل‌سولفون‌کسید (dimethyl sulfoxide-DMSO) به عنوان حلal کورکومین استفاده شد. براساس این حلال‌ها دو گروه کنترل شامل آب مقطر و DMSO انتخاب گردید. تیمار به صورت تزریق داخل صفاقی و به مدت ۵ هفته (۳۵ روز، معادل یک دوره کامل اسپرماتوژن در موش سوری)

آرسنیک یکی از مهم‌ترین عناصر آلوده‌کننده آب و هوا است (۱). این عنصر مضر و خطرناک می‌باشد، آرسنیک در محیط زیست پخش شده است و انسان‌ها روزانه و به طور اجتناب ناپذیر در معرض این عنصر سمی قرار دارند. این ماده در صنعت، از جمله در سموم و آفت‌کش‌ها، صنایع شیشه، منسوجات، کاغذ، رنگ و سایر موارد مورد استفاده قرار می‌گیرد بنابراین مقدار آن در شهرهای صنعتی بیش از سایر مناطق است و اثرات زیانبار آن بر روی سلامت و کیفیت زندگی گیاهان، جانوران و انسان ثابت شده است (۲). انسان‌ها عمدتاً از طریق آب، غذا و هوا در معرض این آلاینده قرار می‌گیرند. اما منبع اصلی آlundگی انسان با آرسنیک عمدتاً از طریق آب آشامیدنی است (۳). در مطالعات صورت گرفته اثرات تحریبی آرسنیک بر عملکرد سیستم تولید مثلی گزارش شده است؛ به طوری که قرار گرفتن در معرض آرسنیک باعث اختلال در تکوین اندام‌های تولید مثلی نر در دوران جنینی می‌شود (۴). علاوه بر این، کاهش جمعیت سلول‌های جنسی در بافت ییضه، کاهش هورمون تستوسترون، افزایش تولید رادیکال‌های آزاد و تغییرات بافت‌شناسی در حیوانات آزمایشگاهی پس از تیمار با سدیم آرسنیت گزارش شده است (۵-۷). آنتیاکسیدان‌ها با خنثی‌سازی اثرات رادیکال‌های آزاد باعث توقف اکسیداسیون می‌شوند، بنابراین وجود منابع آنتیاکسیدان در بدن ضروری است. از جمله آنتیاکسیدان‌ها می‌توان به کورکومین اشاره کرد (۲). کورکومین ماده فعال در گیاه زردچوبه (*Curcuma longa*) است که محل رویش آن در نواحی گرم هند است. این گیاه حاوی ترکیبات آنتیاکسیدانی نظیر دمدوکسی کورکومین (demethoxycurcumin)، بیس دمدوکسی کورکومین (bisdemethoxycurcumin) و کورکومین (curcumin) می‌باشد که در میان آن‌ها

گرفت. به این ترتیب که کل نقاط برخورد کرده پرورب با کل میدان دید ($\sum_{i=1}^n P_{\text{total}}$) و نقاط برخورد کرده با لوله‌های منی‌ساز ($\sum_{i=1}^n P_{\text{tubules}}$) و بافت بینایینی ($\sum_{i=1}^n P_{\text{interstitial}}$) شمارش گردید. در همه میدان‌های دید انتخابی این عمل انجام گرفت. سپس دانسیته حجمی هر یک از پارامترهای ذکر شده با استفاده از معادله زیر (که در آن x بافت بینایینی یا لوله‌های منی‌ساز است)، بدست آمد.

$$V_v = \frac{\sum_{i=1}^n p(x)}{\sum_{i=1}^n P_{\text{total}}}$$

در ادامه حجم مربوط به هر یک از اجزاء به‌طور غیرمستقیم و با ضرب کردن دانسیته حجمی (V_v) آن در حجم کل بیضه در هر موش تخمین زده شد (۱۲).

$$V_{\text{interstitial}} = V_{\text{testis}} \times V_v$$

برای بدست آوردن ارتفاع اپی‌تلیوم زایشی از فرمول $V_v = \frac{H}{Sv}$ استفاده شد که در آن V_v دانسیته حجمی اپی‌تلیوم زایشی و Sv دانسیته سطح اپی‌تلیوم زایشی است. انتخاب میدان‌های دید مطابق روش ذکر شده در بالا صورت گرفت. برای بدست آوردن دانسیته حجمی اپی‌تلیوم زایشی، تعداد نقاط برخورد کرده با اپی‌تلیوم زایشی شمارش و بر مجموع نقاط برخورد کرده با بافت بیضه تقسیم شد، بدین ترتیب دانسیته حجمی اپی‌تلیوم زایشی بدست آمد. برای محاسبه دانسیته سطح (Sv) اپی‌تلیوم زایشی، از پرورب خطی و معادله زیر استفاده شد (۱۳):

$$Sv = 2 \times \frac{\sum_{i=1}^n I_i}{\frac{1}{p} \cdot \sum_{i=1}^n p_i}$$

که در آن $\sum I_i$ تعداد کل برخوردهای پرورب خطی با سطح داخلی اپی‌تلیوم زایشی، $\sum Pi$ تعداد کل نقاط برخورد کرده با اپی‌تلیوم زایشی و L/p طول خط گردید سطح در مقیاس واقعی بافت است.

برای محاسبه طول لوله‌های منی‌ساز، ابتدا از همه اسلامیدهای ۵ میکرونی بافت بیضه موش با 10 ob و روش

انجام گرفت (۱۰). پس از پایان دوره تیمار ابتدا موش‌ها توزین و توسط دی اتیل اتر بیهوده و تشریح شدند، سپس بیضه راست خارج و بعد از وزن کردن و اندازه‌گیری حجم آن‌ها به روش غوطه‌ور شدن (Immersion) (۱۱) به مدت یک هفته در محلول ثابت‌کننده (Modified Davidson's Fluid: MDF) قرار داده شد و از بافت‌های ثابت شده (Isotropic IUR) (Fixed tissue) (्रesh) برای محاسبه uniform random sampling) چروکیدگی بافت (ناشی از مراحل ثابت شدگی و پردازش بافتی) با تروکار به‌طور میانگین دو یا سه قطعه گرد از برش‌های IUR تهیه و دو قطر عمود بر هم از هر کدام اندازه‌گیری و میانگین شعاع آن‌ها محاسبه و به صورت قبل (r_{before}) نشان داده شد. بعد از مراحل پاساژ بافتی، برش‌گیری و رنگ‌آمیزی (به روش Heidenhain's Azan)، مجدداً دو قطر عمود بر هم در هر کدام از اسلامیدهای مربوط به چروکیدگی اندازه‌گیری و میانگین شعاع آن‌ها به صورت بعد (r_{after}) بدست آمد سپس با استفاده از فرمول زیر میزان چروکیدگی مربوط به بیضه هر موش محاسبه شد (۱۳).

$$\text{Shrinkage} = 1 - \left(\frac{r_{\text{after}}^2}{r_{\text{before}}^2} \right)^{\frac{3}{2}}$$

با استفاده از فرمول چروکیدگی، حجم نهایی بیضه از طریق ضرب کردن مقدار عدم چروکیدگی در حجمی که به روش غوطه‌ور شدن بدست آمده بود، محاسبه شد.

محاسبه حجم لوله‌های منی‌ساز و بافت بینایینی برای محاسبه حجم لوله‌های منی‌ساز و بافت بینایینی، با استفاده از روش نمونه‌گیری تصادفی منظم (Systematic Sampling) به‌طور میانگین ۵ میدان دید از هر اسلامید ۵ میکرونی انتخاب و پرورب نقطه به‌طور کاملاً تصادفی روی هر میدان دید اندخته شد و شمارش انجام

هر موش، اندازه‌گیری و میانگین ضخامت غشای پایه با استفاده از معادله زیر محاسبه شد:

$$\text{Harmonic mean thickness layer} = \frac{8/3\pi \times (\text{number of measurements}) / (\text{sum of the reciprocal of orthogonal intercept lenght})}{}$$

بمنظور تخمین تعداد سلول‌های زیایی اسپرم، از روش اپتیکال دایسکتور و میکروکیتور (ND 221 B, Heidenhain, Germany) استفاده و شمارش سلول‌ها از تمام برش‌های میکرونی مربوط به یضه هر موش با استفاده از ابزکتیو با بزرگنمایی ۱۰۰ و روش تصادفی منظم و فریم مخصوص، انجام گرفت. با استفاده از فرمول زیر دانسیته عددی (N_v)

$$N_v = \frac{\sum_{i=1}^n Q_i}{h \cdot \sum_{i=1}^n p_i \cdot a/f}$$

که در آن $\sum Q_i$ تعداد کل انواع سلول‌های شمارش شده $\sum P_i$ مجموع نقاط برخورد کرده با میدان‌های دید انتخابی، h ارتفاعی از برش که در آن شمارش صورت می‌گیرد و a/f سطح فریم در مقیاس واقعی بافت است. برای محاسبه تعداد کل انواع سلول‌های مورد نظر، عدد حاصل در حجم کل یضه مربوطه ضرب شد (۱۶):

$$N(\text{total}) = N_v \times V(\text{total testis})$$

روش آماری تحلیل داده‌ها

داده‌های حاصل توسط نرم افزار SPSS نسخه ۱۶ و روش One way ANOVA و بدنبال آزمون آماری Tukey مورد تجزیه و تحلیل آماری قرار گرفت و تفاوت میانگین‌ها در سطح $p < 0.05$ معنی دار در نظر گرفته شد.

تصادفی منظم به صورت کاملاً تصادفی ۱۵ میدان دید انتخاب و سپس با استفاده فریم شمارش (unbiased counting frame) به طور میانگین ۱۳۰-۱۵۰ لوله منی‌ساز شمارش شد (۱۳). دانسیته طولی لوله‌های منی‌ساز نیز با استفاده از فرمول زیر محاسبه شد:

$$L_v = 2 \times \frac{\sum_{i=1}^n Q_i}{a/f \cdot \sum_{i=1}^n p_i}$$

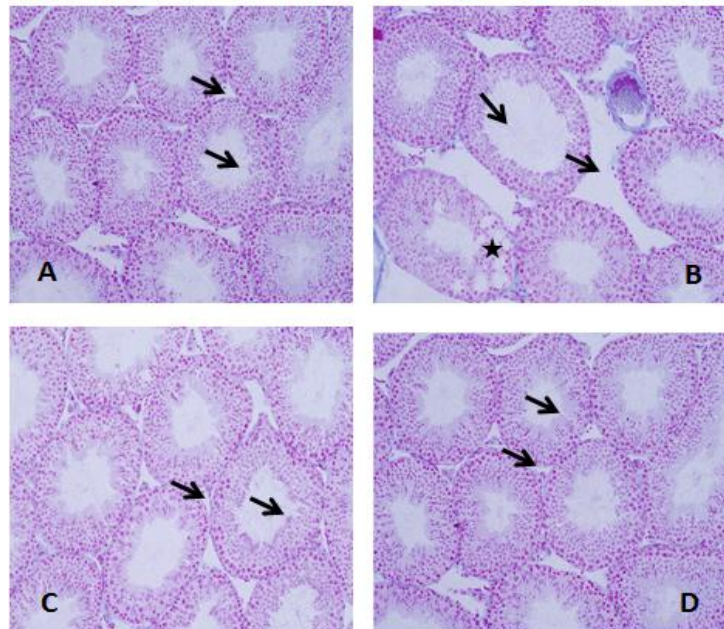
که در آن $\sum Q_i$ مجموع لوله‌های انتخاب شده، a/f سطح فریم مورد نظر در مقیاس واقعی بافت و $\sum P_i$ مجموع نقاط برخورد کرده با بافت یضه است. برای محاسبه طول کل لوله‌ها دانسیته طولی در حجم نهایی یضه ضرب شد (۱۳).

$$L_v = L_v \times V_{\text{testis}}$$

برای محاسبه‌ی قطر لوله‌های منی‌ساز، ابتدا با استفاده از میکروسکوپ مدل OlympusB×41TE و نرم افزار Olyisia همان میدان‌های دید انتخاب شده برای اندازه‌گیری طول لوله‌های منی‌ساز عکس گرفته شد. سپس فریم مخصوص شمارش به صورت کاملاً تصادفی بر روی تصاویر انداخته و قطر کوچک حدود ۱۳۰-۱۵۰ لوله‌ی منی‌ساز در امتداد قطر کوچک فریم صلیبی شکل با کمک نرم افزار موتیک اندازه‌گیری شد (۱۴).

میانگین ضخامت غشای پایه لوله‌های منی‌ساز با استفاده از روش هارمونیک (Harmonic mean) اندازه‌گیری شد (۱۵). برای این کار از اسلایدهای ۵ میکرونی بافت یضه هر موش با ابزکتیو با بزرگنمایی ۱۰۰ و روش تصادفی منظم ۲۴-۲۶ میدان دید انتخاب شد سپس یک پروب که دارای خطوط موازی و مساوی (خطوط ایزوتروپیک) بود بر روی تصویر مربوط به مقطع یضه انداخته شد و از محل برخورد خطوط پروب با سطح داخلی غشای پایه یک خط عمود بر خط مماس غشای خارجی کشیده شد و طول این خط توسط نرم افزار موتیک (Motic image 2000) اندازه‌گیری شد. به طور میانگین ۱۳۰-۱۵۰ برخورد (Intercept) در یضه

شد (شکل 1-B). در گروه کورکومین ساختار لوله‌های منی‌ساز تقریباً مشابه گروه کنترل بود (D-1). بررسی‌های بافت‌شناسی بیضه موش در گروه سدیم آرسنیت + کورکومین نیز نشان داد که اکثر تغییرات تخریبی و بی‌نظمی‌های ایجاد شده توسط سدیم آرسنیت با تجویز کورکومین برگشت و تعدیل یافته بود به‌طوری که اپی‌تیلیوم زایشی لوله‌های منی‌ساز دارای ساختار طبیعی بوده و اسپرماتوژنر طبیعی داشتند همچنین ادم میان بافتی در این گروه به میزان زیادی کاهش یافته بود (شکل 1-C).



شکل ۱. تصاویر میکروسکوپی از بافت بیضه موش‌های بالغ در گروه‌های تیمار شده با سدیم آرسنیت (۵ میلی‌گرم بر کیلوگرم در روز) و کورکومین (۱۵ میلی‌گرم بر کیلوگرم در روز)، (برش‌های ۵ میکرونی، رنگ آمیزی هایزن‌هاین آزان، بزرگنمایی $\times 200$ نشان دهنده).

(A) اپی‌تیلیوم زایشی و حجم فضای بینایینی طبیعی در گروه کنترل (پیکان).

(B) کاهش ارتفاع اپی‌تیلیوم زایشی (نوک پیکان)، واکرنله شدن و بی‌نظمی اپی‌تیلیوم زایشی و تخریب اسپرماتوژنر (ستاره)، و افزایش در فضای بینایینی (پیکان) در گروه تیمار شده با سدیم آرسنیت.

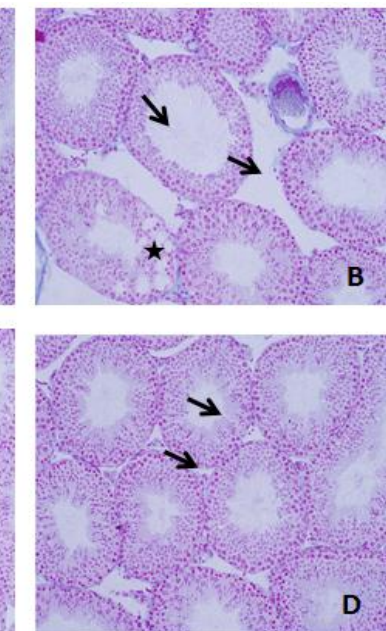
(C) اپی‌تیلیوم زایشی، اسپرماتوژنر و فضای بینایینی تقریباً طبیعی (پیکان) در گروه تیمار شده با سدیم آرسنیت + کورکومین.

(D) نمای لوله‌های منی‌ساز شبیه به گروه کنترل (پیکان) در گروه تیمار شده با کورکومین.

نتایج

تفییرات بافت‌شناسی

لوله‌های منی‌ساز در گروه کنترل اسپرماتوژنر طبیعی داشته، اپی‌تیلیوم زایشی لوله‌ها شکل طبیعی خود را حفظ کرده و سلول‌ها دارای نظم و ترتیب و بهم پیوستگی بودند (شکل ۱-A). در گروه سدیم آرسنیت آتروفی لوله‌های منی‌ساز، افزایش وسعت بافت بینایینی به‌همراه ادم بافتی، تخریب اسپرماتوژنر و کاهش تراکم اسپرم‌ها مشاهده شد. در این گروه ضخامت اپی‌تیلیوم زایشی نسبت به سایر گروه‌ها کاهش یافته و آثاری از واکوئل زایی در آن دیده



کاهش معنی‌داری را نشان داد. از سوی دیگر کورکومین موجب جبران کاهش میانگین ضخامت غشاء پایه و قطر و ارتفاع اپیتیلیوم زایشی در گروه سدیم آرسنیت+کورکومین نسبت به گروه سدیم آرسنیت گردید ($P<0.01$) (جدول ۲). همچنین کاهش معنی‌داری در تعداد سلول‌های اسپرماتوцит و اسپرماتید در موش‌های تیماری با سدیم آرسنیت در مقایسه با گروه کنترل مشاهده شد ($P<0.001$). در گروه تیماری همزمان سدیم آرسنیت+کورکومین میانگین تعداد این سلول‌ها در مقایسه با گروه سدیم آرسنیت به طور معنی‌داری افزایش یافت و به حد گروه کنترل رسید ($P<0.001$). اختلاف معنی‌داری در تعداد سلول‌های اسپرماتوگونی و سرتولی در گروه سدیم آرسنیت در مقایسه با سایر گروه‌ها مشاهده نگردید (جدول ۳).

از طرفی مقایسه میانگین وزن موش‌ها و همچنین وزن بیضه در پایان دوره تیمار تغییر معنی‌داری در هیچ یک از گروه‌های تیماری نسبت به گروه کنترل نشان نداد (جدول ۴).

تغییرات استریولوژیک

از آنجا که تفاوت معنی‌داری بین نتایج گروه‌های کنترل مشاهده نشد، داده‌های گروه آب مقطر به عنوان گروه کنترل در نظر گرفته شد. نتایج این مطالعه کاهش معنی‌دار میانگین حجم لوله‌های منی‌ساز ($P<0.05$) و افزایش معنی‌دار میانگین حجم بافت بینایینی را در گروه سدیم آرسنیت نسبت به گروه کنترل نشان داد ($P<0.001$). مصرف همزمان کورکومین و سدیم آرسنیت کاهش حجم لوله‌های منی‌ساز و افزایش در حجم بافت بینایینی را نسبت به گروهی که فقط سدیم آرسنیت دریافت کرده بودند به طور معنی‌دار جبران کرد ($P<0.05$). میانگین حجم کل بیضه در بین گروه‌های مختلف تیماری و کنترل تغییرات معنی‌داری نداشت (جدول ۱).

میانگین طول لوله‌های منی‌ساز در بین ۵ گروه تفاوت معنی‌داری نداشت اما میانگین قطر، ارتفاع اپیتیلیوم زایشی ($P<0.001$) و ضخامت غشاء پایه ($P<0.01$) لوله‌های منی‌ساز در گروه سدیم آرسنیت نسبت به گروه کنترل

جدول ۱. مقایسه میانگین حجم کل بیضه (mm^3) حجم لوله‌های منی‌ساز (mm^3) و حجم بافت بینایینی (mm^3) در گروه‌های مختلف موش ۵ هفته‌ه پس از تیمار با سدیم آرسنیت (۵ میلی‌گرم بر کیلوگرم در روز) و کورکومین (۱۵ میلی‌گرم بر کیلوگرم در روز).

گروه‌ها	میانگین کل حجم بیضه (mm^3)	میانگین حجم لوله‌های منی‌ساز (mm^3)	میانگین حجم بافت بینایینی (mm^3)
کنترل	*۷۹/۸۷±۴/۷۱	*۶۵/۰۸±۴/۵۰	*۱۴/۷۹±۳/۶۵
سدیم آرسنیت	*۷۳/۵۲±۵/۱۹	**۵۲/۴۹±۳/۵۱	**۲۱/۰۳±۴/۵۰
سدیم آرسنیت+کورکومین	*۸۰/۸۸±۱۰/۰۱	*۶۶/۳۲±۱۰/۰۵	*۱۴/۵۶±۱/۰۸
کورکومین	*۸۴/۵۲±۹/۹۰	*۷۰/۷۸±۷/۸۵	*۱۳/۷۶±۴/۴۹
DMSO	*۷۹/۵۹±۶/۱۷	*۶۵/۹۲±۵/۳۶	*۱۳/۱۷±۱/۸۶

جدول ۲. محاسبه طول (m)، قطر (μm)، ضخامت غشاء پایه (μm) و ارتفاع ابی تلیوم زایشی لوله‌های منی‌ساز (μm) در گروه‌های مختلف موش (۵ هفته) پس از تیمار با سدیم آرسنیت (۵ میلی‌گرم بر کیلوگرم در روز) و کورکومین (۱۵ میلی‌گرم بر کیلوگرم در روز).

گروه‌ها	طول لوله‌های منی‌ساز (m)	قطر لوله‌های منی‌ساز (μm)	ارتفاع ابی تلیوم زایشی لوله‌های منی‌ساز (μm)	ضخامت غشاء پایه (μm)
کترل	*۲/۵±۰/۳۴	*۱۸۰/۷۰±۵/۴۸	*۵۷/۳۹±۸/۰۵	*۶/۴۵±۰/۳۶
سدیم آرسنیت	*۲/۳۳±۰/۲۹	**۱۵۰/۳۱±۹/۹۴	**۴۶/۸۵±۲/۹۷	**۴/۴۳±۰/۱۷
سدیم آرسنیت+کورکومین	*۲/۶۰±۰/۳۱	*۱۷۷/۶۸±۴/۴۴	*۵۶/۹۲±۳/۲۴	*۶/۰۱±۰/۰۵
کورکومین	*۲/۶۲±۰/۲۴	*۱۸۷/۵۳±۳/۹۸	*۵۸/۰۲±۶/۱۶	*۶/۴۹±۰/۲۷
DMSO	*۲/۶۰±۰/۲۷	*۱۸۷/۳۶±۲/۶۱	*۵۶/۸۵±۲/۹۱	*۶/۳۵±۰/۰۸

جدول ۳. مقایسه میانگین تعداد انواع سلول‌های اسپرماتوگونی، اسپرماتوسیت، سرتولی (۱۰۰×) در گروه‌های مختلف موش ۵ هفته پس از تیمار با سدیم آرسنیت (۵ میلی‌گرم بر کیلوگرم در روز) و کورکومین (۱۵ میلی‌گرم بر کیلوگرم در روز).

گروه‌ها	سرتولی	اسپرماتوگونی	اسپرماتوسیت	اسپرماتید گرد	اسپرماتید دراز
کترل	*۳/۰۱±۰/۱۱	*۵/۹۱±۰/۵۳	*۲۲/۴۴±۲/۲۸	*۴۰/۸۷±۱/۸۵	*۴۰/۱۶±۱/۵۷
سدیم آرسنیت	*۲/۹۸±۰/۱۴	*۵/۴۹±۰/۶۱	**۱۵/۴۹±۱/۸۶	**۲۲/۴۲±۲/۸۳	**۲۱/۲۶±۱/۷۸
سدیم آرسنیت+کورکومین	*۳/۰۹±۰/۱۲	*۵/۶۰±۰/۴۲	*۲۱/۹۷±۰/۷۴	*۴۰/۰۸±۰/۹۶	*۴۰/۶۶±۱/۲۱
کورکومین	*۲/۷۰±۰/۱۳	*۶/۱۰±۰/۲۲	*۲۰/۷۶±۰/۵۸	*۴۰/۸۰±۰/۹۵	*۴۱/۰۷±۱/۰۲
DMSO	*۳/۲۶±۰/۳۱	*۵/۸۹±۰/۱۶	*۲۱±۱	*۳۹/۶۸±۰/۴۸	*۴۰/۴۳±۰/۸۸

جدول ۴. مقایسه میانگین وزن بیضه (گرم) و وزن موش (گرم) در گروه‌های مختلف موش ۵ هفته پس از تیمار با سدیم آرسنیت (۵ میلی‌گرم بر کیلوگرم در روز) و کورکومین (۱۵ میلی‌گرم بر کیلوگرم در روز).

گروه‌ها	میانگین وزن اولیه موش (گرم)	میانگین وزن موش در پایان تیمار (گرم)	میانگین وزن بیضه (میلی‌گرم)
کترل	*۳۲/۰۸±۲/۶۷	*۳۴/۵۷±۲/۱۷	*۱۱۸±۱۶
سدیم آرسنیت	*۳۰/۹۰±۳/۸۰	*۳۳/۸۷±۱/۳	*۱۰۷±۱۰
سدیم آرسنیت+کورکومین	*۳۱/۸۱±۳/۳۳	*۳۴/۰۸±۳/۳	*۱۰۸±۱۴
کورکومین	*۳۱/۲۸±۲/۶	*۳۵/۴۶±۲/۳۸	*۱۱۷±۱۶
DMSO	*۳۰/۷۱±۲/۸	*۳۶/۲۶±۲/۹۲	*۱۲۰±۱۵

بحث

در این مطالعه سدیم آرسنیت توانست موجب کاهش معنی دار حجم لوله های منی ساز، قطر، ارتفاع اپیتیلیوم زایشی و ضخامت غشاء پایه لوله های منی ساز و همچنین تعداد سلول های اسپرماتوسیت و اسپرماتید (گرد و دراز) در مقایسه با دیگر گروهها شود. کاهش میانگین حجم لوله های منی ساز در گروه سدیم آرسنیت می تواند به علت آتروفی لوله های منی ساز باشد. در مطالعات دیگر آتروفی لوله های منی ساز در اثر سدیم آرسنیت مشاهده شده است (۱۷). گزارش شده است که میزان زیاد آپوپتوز (مرگ سلولی) و کاهش تعداد سلول های جنسی می تواند دلیلی بر تحلیل لوله های منی ساز توسط سدیم آرسنیت باشد (۱۸، ۱۹).

چنانکه در این مطالعه نیز کاهش حجم لوله های منی ساز همراه با کاهش معنی دار تعداد سلول های جنسی در موش های تیماری با سدیم آرسنیت مشاهده گردید.

حجم بافت بینایینی در مطالعه حاضر در گروه تیماری با سدیم آرسنیت در مقایسه با سایر گروهها افزایش معنی داری را نشان داد (۲۰). افزایش در وسعت بافت بینایینی در اثر تیمار با سدیم آرسنیت، با کاهش قطر لوله های منی ساز سازگار است و می تواند به علت ادم باشد (۷، ۲۱، ۲۲). ادم به دنبال کاهش سطح تستوسترون ایجاد می شود و کاهش سطح تستوسترون توسط سدیم آرسنیت در پژوهش های دیگران گزارش شده است (۴، ۲۳، ۲۴). در این بررسی ارتفاع اپیتیلیوم زایشی و قطر لوله های منی ساز در گروه تیمار با سدیم آرسنیت کاهش معنی داری یافت. کاهش مقاوم ترین سلول های جنسی هستند (۳۱). در مطالعات صورت گرفته کاهش در تعداد سلول های اسپرماتید و اسپرماتوسیت در اثر تیمار با سدیم آرسنیت گزارش شده است؛ در پژوهشی که بر روی موش های نژاد آلبینو سوئیس تیمار شده با سدیم آرسنیت در دوز های ۳۰ و ۴۰ میلی گرم بر لیتر انجام شد، مشاهده شد که جمعیت های

زایشی لوله های منی ساز در این مطالعه در توافق با نتایج مطالعات دیگران است؛ در مطالعه ای که بر روی رت های نابالغ نژاد ویستار (Wistar rat) با دوز ۸ میلی گرم بر کیلو گرم طی ۹۰ روز صورت گرفت ارتفاع اپیتیلیوم زایشی و قطر لوله های منی ساز در گروه سدیم آرسنیت نسبت به سایر گروهها به دلیل سیمیت استرس اکسیداتیوی ناشی از سدیم آرسنیت کاهش یافت (۷). همچنین در مطالعه دیگری بر روی موش های تیماری با سدیم آرسنیت با دوز ۷ میلی گرم بر کیلو گرم کاهش قطر لوله های منی ساز گزارش شد (۲۸).

گزارش شده است که گلوتاتیون احیاء (GSH) و آنزیم های سوپراکسید دسموتاز (SOD) و کاتالاز (CAT) نقش اصلی را در برابر آسیب سلولی القا شده با رادیکال های آزاد دارند (۲۵). در اثر کاهش سطح GSH، تعدادی از عملکردهای سلول دچار آسیب می شوند که شامل کاهش در ظرفیت احیاء، بیوستز پروتئین، عملکرد اینمنی، انباشتگی محصولات لیپید پراکسیداسیون و ظرفیت دفع سموم می باشد (۲۶). بنابراین آسیب های بافتی در اثر سدیم آرسنیت می تواند به علت کاهش سطح GSH ایجاد شود (۳۰). در این مطالعه کاهش معنی داری در تعداد سلول های اسپرماتوسیت و اسپرماتید های دراز و گرد در موش های تیمار با سدیم آرسنیت در مقایسه با سایر گروهها مشاهده شد. اما اختلاف معنی داری در تعداد سلول های اسپرماتوگونی و سرتولی در گروه سدیم آرسنیت در مقایسه با سایر گروهها مشاهده نشد. چنانکه گزارش شده است که سلول های اسپرماتوگونی مقاوم ترین سلول های جنسی هستند (۳۱). در مطالعات صورت گرفته کاهش در تعداد سلول های اسپرماتید و اسپرماتوسیت در اثر تیمار با سدیم آرسنیت گزارش شده است؛ در پژوهشی که بر روی موش های نژاد آلبینو سوئیس تیمار شده با سدیم آرسنیت در دوز های ۳۰ و ۴۰ میلی گرم بر لیتر انجام شد، مشاهده شد که جمعیت های

در این مطالعه اثر حفاظتی و بهبود دهنده کورکومین در جلوگیری از اثرات مخرب سدیم آرسنیت در گروه تیماری سدیم آرسنیت + کورکومین مشاهده شد. کورکومین مولکولی است که با اثر چندجانبه‌ای خود در درمان بسیاری از بیماری‌ها کاربرد دارد، اثرات چند جانبه کورکومین به علت تأثیر آن بر مولکول‌های مختلف در مسیرهای تنظیمی متفاوت است، از این رو دارای خواص بیولوژیکی فارماکولوژیکی می‌باشد. کورکومین موجب مهار تولید رادیکال‌های آزاد می‌شود. اثرات آنتی‌اکسیدانی کورکومین در غیرفعال کردن رادیکال‌های آزاد ثابت شده است (۲۸). در مطالعات گذشته اثر حفاظتی کورکومین بر روی مارکرهای بیوشیمیابی استرس اکسیداتیو در پلاسمای خون و بافت بیضه رت‌ها ناشی از سدیم آرسنیت اثبات شده است (۲). چنانکه کورکومین با توجه به خاصیت آنتی‌اکسیدانی خود باعث مهار رادیکال‌های آزاد و در نتیجه جبران اثرات ناشی از استرس اکسیداتیو توسط سدیم آرسنیت گردید (۳۰). از سویی، اثر آنتی‌اکسیدانی کورکومین در مطالعات گذشته در روند اسپرماتوژن تایید شده است (۲،۲۷). به طوری که در مطالعه‌ای که بر روی موش‌های نژاد Balb-c صورت گرفت کورکومین توانست موجب بهبود معنی‌دار اثرات ناشی از سمیت داروی مترونیدازول در بافت بیضه موش‌های گروه کورکومین + مترونیدازول نسبت به گروه مترونیدازول شود (۹). در مطالعه مشابه دیگری که بر روی موش‌های سویسی آلبینو تحت تیمارهای مختلف با کلرید کادمیوم صورت گرفت، اثرات بهبود بخش و جبران کننده کورکومین بر روی بافت بیضه مشاهده گردید و کورکومین در این مطالعه باعث بهبود اثرات بافت‌شناسی ناشی از این سم شد (۳۶).

سلول‌های جنسی در این موش‌ها، از جمله اسپرماتوسیت اولیه، ثانویه و اسپرماتیدها به صورت واپسیه به دوز کاهش معنی‌داری پیدا کرده است اما تعداد سلول‌های اسپرماتوگونی تغییری نداشته است (۳۲). همچنین در مطالعه دیگری که بر روی موش‌های آلبینو سویس با دوز ۴٪ پی ام به مدت ۶۰ روز صورت گرفته (۴) و در مطالعه‌ای که بر روی رت‌های نژاد ویستار (Wistar rat) تیماری با سدیم آرسنیت با دوز ۸ میلی گرم بر کیلو گرم طی ۹۰ روز انجام شده، کاهش در تعداد سلول‌های جنسی گزارش شده است (۷). خاصیت آپوپتوزی آرسنیت بر روی سلول‌های بافت بیضه اثبات شده است (۲)، بنابراین یکی از احتمالات ممکن در مورد کاهش تعداد سلول‌های جنسی در بافت بیضه حیوانات تیمار شده با سدیم آرسنیت می‌تواند به دنبال القای آپوپتوزیس در این سلول‌ها باشد.

علاوه بر این کاهش سلول‌های اسپرماتوسیت و اسپرماتید در این مطالعه احتمالاً در نتیجه کاهش سطح هورمون‌های جنسی در اثر سدیم آرسنیت نیز می‌باشد. سدیم آرسنیت می‌تواند بر سطح هورمون‌های تستوسترون و هورمون لوئیزینی (LH) اثر گذشته و آن‌ها را کاهش دهد (۳،۲۴). کاهش سطح تستوسترون در داخل بیضه خود می‌تواند به جدا شدن سلول‌های زایا از اپی‌تیلیوم اسپرم‌ساز و سرانجام مرگ سلول‌های زایا منجر شود (۳۳). از سوی دیگر سدیم آرسنیت موجب کاهش فعالیت آنزیم‌های آنتی‌اکسیدانی مثل سوپراکسید دیسموتاز، کاتالاز، گلوتاتیون ردوکتاز و گلوتاتیون پراکسیداز، افزایش پراکسید هیدروژن (H₂O₂) و لیپید پراکسیداسیون (Lipid peroxidation: LPO) می‌شود (۲۵،۲۸،۳۴). لیپید پراکسیداسیون در بافتی مثل بیضه که دارای درجه بالای متابولیسم و تکثیر سلولی است می‌تواند بسیار زیان آور باشد (۳۵). بنابراین سدیم آرسنیت از این طریق نیز می‌تواند تا حد زیادی به سلول‌های جنسی آسیب وارد کند.

آینده سطح هورمون تستوسترون و آنزیم های GPx و SOD نیز اندازه گیری شود.

سپاسگزاری

این پژوهش در آزمایشگاه تحقیقاتی گروه زیست‌شناسی دانشکده علوم پایه دانشگاه اراک انجام گردید. بدین وسیله نویسنده‌گان از مساعدت‌های فراوان معاون پژوهشی و فناوری و مسئولان آزمایشگاه تحقیقاتی و استریولوژی دانشگاه اراک تقدیر و تشکر می‌نمایند.

نتیجه گیری

نتایج این مطالعه نشان داد که کورکومین به عنوان یک آنتی‌اکسیدان قوی می‌تواند نقش حفاظتی در برابر اثر تخریبی سدیم آرسنیت بر پارامترهای بافتی بیضه و جمعیت سلول‌های اسپرماتوژنیک و سرتولی داشته باشد. بنابراین می‌توان از کورکومین به عنوان یک مکمل در درمان مسمومیت‌های ناشی از سدیم آرسنیت در مناطق صنعتی استفاده کرد. همچنین پیشنهاد می‌شود که مطالعات مرتبط

References

- Hillie T, Hlophe M. Nanotechnology and the challenge of clean water. *Nat Nanotechnol* 2007; 2 (11): 663-4.
- El-Demerdash FM, Yousef MI, Radwan FM. Ameliorating effect of curcumin on sodium arsenite-induced oxidative damage and lipid peroxidation in different rat organs. *Food Chem Toxicol* 2009;47(1): 249-254.
- Jana K, Jana S, Samanta PK. Effects of chronic exposure to sodium arsenite on hypothalamo-pituitary-testicular activities in adult rats: possible an estrogenic mode of action. *Reprod Biol Endocrinol* 2006; 16(4):4-9.
- Vijaya M, Reddy B, Sudheer SD, Pradesh T.A, Reddy P.S, Reddy S.H and Karthik A. Transplacental and Lactational Exposure of Mice to Arsenic: Effect on Body and Organ Weights with Special Reference to Male Reproductive Organs. *JRI* 2012; 3(1): 17-21.
- Liu S.X, Athar M, Lippai I, Waldren C, Hei T.K. Induction of oxyradicals by arsenic: implication for mechanism of genotoxicity. *Proc Natl Acad Sci USA* 2001; 98(4):1643-8.
- Kuladip J, Subarna J, Prabhat Kumar S. Effect of chronic exposure to sodium arsenite on hypothalamo- pituitary-testicular activities in adult rats: possible an estrogenic mode of action. *RBEJ* 2006; 4(1): 9.
- Soleimani M.M, Taefi R. The protective role of vitamin E on the testicular tissue in rats exposed to sodium arsenite during the prenatal stage till sex maturity: A stereological analysis. *IJRM* 2012; 10(6): 571-80.
- Akram M, Shahab-uddin, Ahmed A, Usmanghani k, Hannan A, Mohiuddin E, et al. Curcuma longa and curcumin: a review article. *ROM J BIOL PLANT BIOL* 2010; 55(2): 65-70.
- Noorafshan A, Karbalay-doust S, Valizadeh A, Aliabadi E, Mirkhani H. Ameliorative Effects of curcumin on the seminiferous epithelium in

- Metronidazole-treated mice: A Stereological Study. *Toxicol Pathol* 2010; 38(3):366-71.
10. Biswas J, Roy S, Mukherjee S, Sinha D, Roy M. Indian spice curcumin may be an effective strategy to combat the genotoxicity of arsenic in Swiss albino mice. *APJCP* 2010; 11(1); 239-47.
 11. Mandarim-de-Lacerda, C.A. Stereological tools in biomedical research. *An Acad Bras Cienc* 2003; 75(4): 469-86s.
 12. Howard V, Reed M. Unbiased Stereology: Three-Dimentional Measurment in Microscopy. Bios Scientific Publishers *J Microsc* 1998; 1(1): 1-93.
 13. Hoseini L, Roozbeh J, Sagheb M, Karbalay-Doust S, Noorafshan A. Nandrolone decanoate increases the volume but not the length of the proximal and distal convoluted tubules of the mouse kidney. *Micron* 2009; 40(2); 226-30.
 14. Dalgaard M, Pilegaard K, Ladefoged O. In utero exposure to diethylstilboestrol or 4-n-nonylphenol in rats: number of sertoli cells, diameter and length of seminiferous tubules estimated by stereological methods. *Pharmacol Toxicol* 2002; 90(2):59-65.
 15. Ferrando RE, Nyengaard JR, Hays SR, Fahy JV, Woodruff PG. Applying stereology to measure thickness of the basement membrane zone in bronchial biopsy specimens. *J Allergy Clin Immunol* 2003; 112(6):1243-5.
 16. Peng B, Zhang RD, Dai XS, Deng XZ, Wan Y, Yang ZW. Quantitative (stereological) study of the effects of vasectomy on spermatogenesis in rhesus monkeys (Macacamulatta). *Reproduction* 2003; 124(6): 847-56.
 17. das Neves RN, Carvalho F, Carvalho M, Fernandes E, Soares E, de Bastos ML, de Pereira ML. Protective activity of hesperidin and lipoic acid against sodium arsenite acute toxicity in mice, *Toxicol Pathol* 2004; 32(5):527-35.
 18. Li Y, Wang M, Piao F, Wang X. Subchronic exposure to arsenic inhibits spermatogenesis and downregulates the expression of Ddx3y in testis and epididymis of mice. *Toxicol Sci* 2012; 128(2): 482-9.
 19. Kaushal P, Dhar P, Shivaprasad SM, Mehra RD. Postnatal exposure to sodium arsenite (NaAsO₂) induces long lasting effects in rat Ttestes. *Toxicol Int* 2012; 19(2): 215-22.
 20. Ahmad I, Hussain T. Arsenic induced microscopic changes in rat testis. *Professional Med J* 2008; 15(2): 287-1.
 21. Raleigh D, O'Donnell L, Southwick GJ, de Kretser DM, McLachlan RI. Stereological analysis of the human testis after vasectomy indicates impairment of spermatogenic efficiency with increasing obstructive interval. *Fertil Steril* 2004; 81(6):1595-603.
 22. Soleimani M, Hemadi M. The effects of sodium arsenite on the testis structure and sex hormones in vasectomised rat. *IJRM* 2007; 5(3):127-33.
 23. Lirdi LC, Stumpf T, Sasso-Cerri E, Miraglia SM. Amifostine Protective Effect on Cisplatin-Treated Rat Testis.

- Anat Rec (Hoboken)* 2008; 291(7):797-808.
24. Chinoy NJ, Tewaria K, Jhala DD. Fluoride and or arsenic toxicity in mice testis with formation of giant cell and subsequent recovery by some antidotes. *Fluoride* 2004; 37(3):172-84.
 25. Uygur R, Aktas C, Caglar V, Uygur E, Erdogan H, Ozen OA. Protective effects of melatonin against arsenic-induced apoptosis and oxidative stress in rat testes, *Toxicol Ind Health* 2016; 32(5): 848-59.
 26. De Souza Predes F, Diamante MA, Dolder H. Testis response to low doses of cadmium in Wistar rats. *Int J Exp Pathol* 2010; 91(2):125-31.
 27. Kovacevic K, Budolfeld T, Majdic G. Reduced seminiferous tubule diameter in Mice neonatally exposed to perfume. *Slovenian Vet. Res* 2006; 43(4):177-83.
 28. Bustos-Obregon E, Poblete D, Catriao R, Fernandes FH. Protective Role of Melatonin in Mouse Spermatogenesis Induced by Sodium Arsenite. *Int J Morphol* 2013; 31(3):849-56.
 29. Karafakioglu YS, Aslan R. Taurine Prevents Nonylphenol-Induced Oxidative Stress in Rats. *Javaa* 2010; 9(1):37-43.
 30. Khan S, Telangb AG, Malik JK. Arsenic-induced oxidative stress, apoptosis and alterations in testicular steroidogenesis and spermatogenesis in wistar rats: ameliorative effect of curcumin. *WJPP* 2013; 2(3): 33-48.
 31. Aydos K, Guven M.C, Can B, Ergun A. Nicotine toxicity to the ultrastructure of the testis in rats. *BJU Int* 2001; 88(6): 622-6.
 32. Sanghamitra S, Hazra Jb, Upadhyay SNb, Singh RKb and Chowdhury AR. Arsenic induced toxicity on testicular tissue of mice. *Indian J Physiol Pharmacol* 2008; 52(1): 84-90.
 33. Blanco-Rodriguez J, Martinez- Garcia C. Apoptosis precedes detachment of germ cells from the seminiferous epithelium after hormone suppression by short-term oestradiol treatment of rats. *Int J Androl* 1998; 21(2):109-15.
 34. Morakinyo AO, Achema PU, Adegoke OA. Effect of Zingiber Officinale (Ginger) on Sodium Arsenite-Induced Reproductive Toxicity in Male Rats. *Ajbrui* 2010; 13(1): 39 - 45.
 35. Elshaari FA, Fatum AE, Sheriff D. Spermatozoa-an unique representation of Oxygen-Antioxidant paradox. *Acta Medica Medianae* 2010; 49(1):48-53.
 36. Singh P, Deora K, Sankhla V, Mogra P. Curcumin rendered protection against cadmium chloride induced testicular damage in Swiss albino mice, *JCellMolBiol* 2012; 10(2): 31-8.

Curcumin Protects Mice Testicular Tissue against the Adverse Effects of Sodium Arsenite: A Stereological Study

Malek Soleimani Mehranjani, Ph.D.^{1*}, Najmeh Hatamikia, M.Sc.², Samira Naderi noreini, M.Sc.²

1. Professor of Histology and Embryology, Department of Biology, Faculty of Science, Arak University, Arak, Iran

2. Masters of Developmental Cell Biology, Department of Biology, Faculty of Science, Arak University, Arak, Iran

* Corresponding author; e-mail: m-soleimani@araku.ac.ir

(Received: 20 Sep. 2015 Accepted: 4 May 2016)

Abstract

Background & Aims: Sodium arsenite, an environmental pollutant, produces free radicals with harmful effects on the reproductive system. The aim of this study was to investigate the effect of curcumin, as a strong antioxidant, on the testis tissue and spermatogenic cell population in mice treated with sodium arsenite.

Methods: In this experimental study, Adult male NMRI mice were randomly divided into the 5 groups (n=6): control, sodium arsenite (5mg/kg/day), curcumin (15mg/kg/day), sodium arsenite+curcumin and DMSO as vehicle. After 5 weeks of treatment (through intraperitoneal injection), animals right testis were removed, fixed, sectioned, stained (using heiden hain azan method) and stereologically studied. Data were analyzed using one-way ANOVA and Tukey's test and the means were considered significantly different at p<0.05.

Result: A significant decrease in the mean volume ($P<0.05$) and diameter ($P<0.001$) of seminiferous tubules, height of the germinal epithelium ($P<0.01$), thickness of the basement membrane ($P<0.001$) and the number of spermatocytes and spermatids ($p<0.001$) and a significant increase in the mean volume of the interstitial tissue was observed in the sodium arsenite group compared to the control ones ($p<0.05$). The above parameters were significantly compensated to the control level in the sodium arsenite+curcumin group.

Conclusions: Curcumin can compensate the harmful effects of sodium arsenite on the testicular tissue and spermatogenic cell populations in adult mice. Therefor, it is suggested as a supplement in the case of arsenite intoxication.

Keywords: Curcumin, Mice, Sodium arsenate, Stereology, Testis

Journal of Kerman University of Medical Sciences, 2016; 23 (6): 714-726